

三菱製鋼㈱ 技術開発センター 井上正文 安部 強

○広松秀則 虎岩 清

1. 緒 言

筆者らはすでに、鋼のオーステナイト結晶粒の成長について、加熱速度が影響し、そして、それは変態途中での Al_N の析出の違いによるものであることを報告した。^{1), 2)} 前報では、前処理が溶体化材であつたが、今回は実用的な焼ならし組織を選び前回と同様な実験を行なつた。次に、加熱速度の影響をなくすると思われる Nb 入りの材料について電子顕微鏡観察により、Nb(CN) の微細な分散状態などについて調査を行なつた。

2. 実験方法

供試材は表 1 に示す化学成分を有する SCM420 を使用した。まず、高周波炉で大気溶解した 10kg 鋼塊を 20mmφ に鍛伸し、 $1250^{\circ}\text{C} \times 2\text{ hr WQ}$ で溶体化処理を行なつた。焼ならし材においては、溶体化材を $925^{\circ}\text{C} \times 1\text{ hr}$ で空冷を行なつた。次に、実験炉を用いて室温よりの加熱速度を $3^{\circ}\text{C}/\text{min}$, $10^{\circ}\text{C}/\text{min}$ の 2 段階を設定し 500 , 600 , 700 , 800 , 900 と 1000°C の各々温度に達したところで直ちに水冷した。 Al_N は、プロムエステル法で、Nb(CN) は、アセチルアセトン定電位電解抽出法でそれぞれ定量し、それらの形状分布等は、抽出レプリカ法によつて観察した。

表 1 供試材の化学成分 (Wt %)

C	Si	Mn	Cr	Mo	Al	Nb	N
0.20	0.28	0.77	1.05	0.15	0.030	-	0.0149
0.20	0.30	0.75	0.93	0.16	0.036	0.020	0.0150
0.17	0.28	0.75	1.05	0.15	0.023	0.053	0.0120

3. 実験結果

3.1 Al 含有材 (焼ならし)

図 1 に示すように、加熱速度 $3^{\circ}\text{C}/\text{min}$, $10^{\circ}\text{C}/\text{min}$ とともに、 Al_N の析出量は再加熱において 600°C までは変化がなく、 700°C 付近で増大して、以後減少傾向を示し、 $3^{\circ}\text{C}/\text{min}$ の方が減少が大きい。結晶粒度においても $3^{\circ}\text{C}/\text{min}$, $10^{\circ}\text{C}/\text{min}$ ともに微細で顕著な差は表われていない。この傾向は写真 1 に示す電顕写真に差が表われていないことからもうかがわれる。

3.2 Al - Nb 含有材 (溶体化)

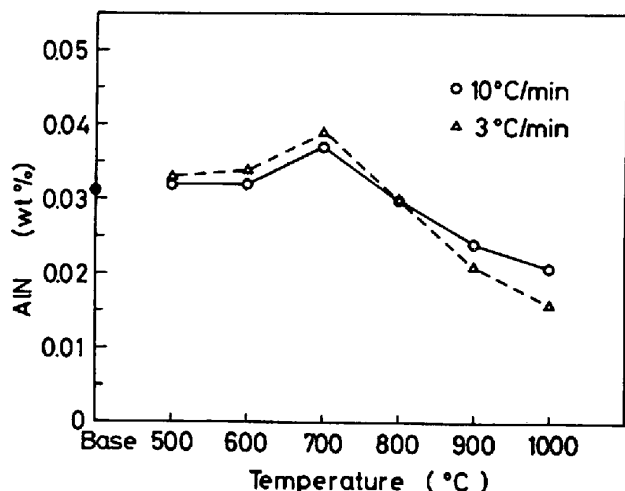
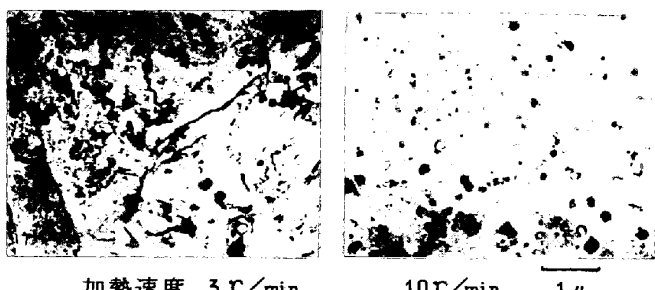
Al_N の析出傾向は Al 含有材 (溶体化) と同じで、 $3^{\circ}\text{C}/\text{min}$ の方が $10^{\circ}\text{C}/\text{min}$ より早く表われている。また、最大ピーク温度は Al 含有材 (溶体化) より低温測へずれており、又最大量も Nb(CN) となつて N が減り析出量も少ない。Nb(CN) の傾向は Al_N と同じである。

3.3 Al - Nb 含有材 (焼ならし)

Al_N の定量値は $3^{\circ}\text{C}/\text{min}$, $10^{\circ}\text{C}/\text{min}$ ともに差はない、温度上昇につれて減少している。Nb(CN) については $3^{\circ}\text{C}/\text{min}$, $10^{\circ}\text{C}/\text{min}$ ともに母材と差はなくほぼ一定である。

参考文献 1) 井上他 鉄と鋼 66(1980)11, S1175

2) 井上他 鉄と鋼 64(1978)11, S 823

図 1 各温度での Al_N 量と加熱速度の関係加熱速度 $3^{\circ}\text{C}/\text{min}$ $10^{\circ}\text{C}/\text{min}$ 1μ 写真 1. 800°C での電顕観察結果